

# Фазовая диаграмма переходов из изотропной фазы в нематическую и смектические (аксиальную, биаксиальную) фазы в жидких кристаллах с ахиральными молекулами

© Е.С. Ларин

Научно-исследовательский институт физики Ростовского государственного университета,  
344090 Ростов-на-Дону, Россия

E-mail: eslarin@ip.rsu.ru

(Поступила в Редакцию в окончательном виде 30 декабря 2003 г.)

В рамках простой феноменологической модели термодинамического потенциала Ландау исследованы фазовые диаграммы переходов из изотропной фазы в нематические и смектические. Определены условия изоморфного фазового перехода между двумя аксиальными смектическими фазами и прямого перехода из изотропной в аксиальную и биаксиальную смектические фазы. Описано поведение параметров порядка вдоль различных термодинамических путей. Результаты теоретического рассмотрения обсуждаются на примере жидкокристаллических фаз в соединениях с банановидными ахиральными молекулами.

Работа поддержана Российским фондом фундаментальных исследований (грант № 03-05-65409).

## 1. Введение

Фазы (мезофазы) в жидких кристаллах — LC (Liquid Crystal) характеризуются как ориентационным, так и частичным позиционным порядком и, согласно классификации Фриделя [1], разделяются на два основных типа: нематики — N (Nematic) — и смектики — Sm (Smectic). Фаза N характеризуется преимущественным расположением анизотропных молекул (стержней, дисков) вдоль выделенного направления  $\mathbf{n}$ , называемого директором Франка. Центры тяжести молекул разупорядочены, как в простой изотропной I (Isotropic) жидкости. Существует два типа нематиков с ахиральными молекулами, отличающихся по своим физическим характеристикам: аксиальные  $N_u$  (uniaxial) и биаксиальные  $N_b$  (biaxial) [2–8]. Особенности полной фазовой диаграммы — PD (Phase Diagram) — таких переходов исследованы в рамках теории фазовых переходов Ландау в работе [9].

Смектики характеризуются слоистой структурой и разделяются на три основных типа: SmA, SmC, SmB [2]. В смектических LC фазах наряду с ориентационным упорядочением наблюдается частичный трансляционный порядок с четко определенным расстоянием между слоями. Внутри каждого слоя молекулы ориентированы, но центры тяжести разупорядочены: каждый слой представляет собой двумерную жидкость [2].

Сравнительно недавно в LC с ахиральными молекулами была обнаружена биаксиальная смектическая фаза [10–14]. Для такой фазы можно выбрать направление, определяющее биаксиальность фазы, с единичным вектором  $\mathbf{m}$ , лежащим в плоскости слоев ( $\mathbf{m} \perp \mathbf{p}$ , где  $\mathbf{p}$  — нормаль к смектическому слою). В этом случае (для неполярных молекул) фаза инвариантна относительно преобразования  $\mathbf{m} \rightarrow -\mathbf{m}$ . Де Жен [2] обозначил такую смектическую фазу как  $S_M$ . Авторы работ [13,14] обозначают эту фазу как  $SmA_b$ . Такая аббревиатура будет использована нами в дальнейшем, так как она

полностью характеризует фазу: A — директор  $\mathbf{n} \parallel \mathbf{p}$ , b — биаксиальная. В связи с этим аксиальную смектическую фазу с  $\mathbf{n} \parallel \mathbf{p}$  будем обозначать как  $SmA_u$ . Интерес к исследованию свойств фазы  $SmA_b$  обусловлен двумя главными причинами: во-первых, некоторые фазы, которые сейчас классифицируются как SmC по их оптической биаксиальности, могут в действительности быть  $SmA_b$  [15,16], во-вторых, в связи с обнаружением в  $SmA_b$  сегнетоэлектричества с ахиральными молекулами [13,14].

В настоящей работе в рамках теории фазовых переходов Ландау исследованы особенности фазовой диаграммы и поведения ряда физических величин при переходах из фазы I в фазы  $N_u$ ,  $SmA_u$ ,  $SmA_b$ . Возможность прямого PT из фазы I в фазу  $SmA_u$  теоретически была исследована в работах [15–24]. Авторы [24] рассмотрели простую модель Ландау переходов из I в фазы  $SmA_u$ ,  $N_u$ . В настоящей работе в рамках модели потенциала Ландау до четвертой степени определены не только условия существования фазы SmA, но также описаны: во-первых, переход между двумя изоструктурными фазами  $SmA_u(I)$  и  $SmA_u(II)$ , отличающимися степенью (величиной) упорядоченности ориентации молекул, толщиной смектического слоя; во-вторых, переходы между  $SmA_u$ – $SmA_b$ – $N_u$ ; в третьих, прямой переход из фазы I в  $SmA_b$ . Кроме того, исследованы все возможные типы PD данной модели и поведение параметров порядка вдоль различных термодинамических путей.

## 2. Модель термодинамического потенциала

Возникновение нематических и смектических фаз из изотропной жидкости допускает феноменологический подход в рамках теории фазовых переходов Ландау [25]. Пространственная симметрия фазы I (прафазы), со-

стояний из ахиральных молекул, описывается группой  $G_0 = T(3) \times O(3)$ , где  $T(3)$  — группа трансляций,  $O(3)$  — полная ортогональная группа в трехмерном пространстве. Параметром порядка — ОР (Order Parameter) — фазового перехода в нематические фазы, преобразующихся по неприводимому представлению группы  $G_0$ , является бесследный симметричный тензор второго ранга  $Q_{ik}(\mathbf{r})$  [2]. Тензорное поле  $Q_{ik}(\mathbf{r})$  описывает как величину порядка (степень ориентации молекул), так и ориентацию (направление) молекул в каждой точке  $\mathbf{r}$ . В однородном случае предполагается, что  $Q_{ik}$  не зависит от  $\mathbf{r}$ . Такое приближение справедливо для большинства нематиков с ахиральными молекулами, для которых упругие константы Франка  $K_i$  ( $i = 1, 2, 3$ ) положительны [2,21].

Выбираем систему координат  $\mathbf{e}_i$ ,  $i = x, y, z$  ( $\mathbf{e}_i$  — единичные векторы вдоль  $x, y, z$  соответственно), в которой  $Q_{ik}$  — диагональный тензор,

$$Q_{xx} = -1/2(\eta_1 - \sqrt{3}\eta_2), \quad Q_{yy} = -1/2(\eta_1 + \sqrt{3}\eta_2), \quad Q_{zz} = \eta_1,$$

$$Q_{ik} = 0, \quad i \neq k, \quad i, k = x, y, z. \quad (1)$$

Из (1) следует, что директор  $\mathbf{n}$  направлен вдоль оси  $z$ . Введем триаду ортогональных векторов  $\mathbf{n}, \mathbf{m}, \mathbf{l} = \mathbf{m} \times \mathbf{n}$ ;  $n_i = (\mathbf{e}'_i \mathbf{e}_z)$ ,  $m_i = (\mathbf{e}'_i \mathbf{e}_y)$ ,  $l_i = (\mathbf{e}'_i \mathbf{e}_x)$ . Тогда тензор  $Q_{ik}$  имеет вид

$$Q_{ik} = 1/2\eta_1(3n_i n_k - \delta_{ik}) + \sqrt{3}/2\eta_2(l_i l_k - m_i m_k). \quad (2)$$

При переходе в слоистые смектические фазы нарушается непрерывная трансляционная симметрия  $G_0$  фазы I. В рассматриваемом случае (SmA) такое нарушение происходит только в одном направлении, например вдоль  $z$ . В этом случае фазовый переход описывается двухкомпонентным ОР, являющимся одномерной волной плотности вдоль направления  $\mathbf{q} \parallel \mathbf{z}$  [2],

$$\psi(\mathbf{r}) = \rho_0 + |\Psi| \exp(iqz), \quad (3)$$

где  $\rho_0$  — плотность при отсутствии слоев,  $|\Psi|$  — модуль, определяющий напряженность (strength) образования. Волновое число  $q = 2\pi/d$ , где  $d$  — расстояние между слоями. В общем случае  $|\Psi|$  зависит от координат  $x, y, z$ . Полагаем, что  $|\Psi|$  не зависит от  $\mathbf{r}$ .

Оставляя в целом рациональном базисе инвариантов, включающем оба ОР, только слагаемые до четвертой степени, получаем, что термодинамический потенциал зависит от семи функций

$$\begin{aligned} I_1 &= Q_{il}Q_{li}, \quad I_2 = Q_{im}Q_{ml}Q_{li}, \\ I_3 &= |\psi|^2, \quad I_4 = (\nabla_i \psi)(\nabla_i \psi^*), \\ I_5 &= |\Delta \psi|^2, \quad I_6 = Q_{ik}(\nabla_i \psi)(\nabla_k \psi^*), \\ I_7 &= Q_{im}Q_{mk}(\nabla_i \psi)(\nabla_k \psi^*). \end{aligned} \quad (4)$$

В настоящей постановке задачи биаксиальность определяется только ориентационным ОР ( $Q_{ik}$ ), а неоднородность — только смектическим ОР ( $\Psi(z)$ ). Наличие

в (4) инварианта  $I_6$  физически означает, что смектическое упорядочение сопровождается ориентационным. Преобразуем инварианты (4), используя уравнения (1) и (3),

$$\begin{aligned} I_1 &= 2/3(\eta_1^2 + \eta_2^2), \quad I_2 = 3/4(\eta_1^3 - 3\eta_1\eta_2^2), \\ I_4 &= q^2|\Psi|^2, \quad I_5 = q^4|\Psi|^2, \\ I_6 &= \eta_1 q^2|\Psi|^2, \quad I_7 = \eta_1^2 q^2|\Psi|^2. \end{aligned} \quad (5)$$

Оставляя в выражении термодинамического потенциала слагаемые до четвертой степени по ОР, получим простую модель, аналогичную [24],

$$\begin{aligned} \Phi(\eta_1, \eta_2; |\Psi|, q) &= a_1(\eta_1^2 + \eta_2^2) + b_1(\eta_1^3 - 3\eta_1\eta_2^2) \\ &+ a_2(\eta_1^2 + \eta_2^2)^2 + \alpha_1^*|\Psi|^2 + \alpha_2|\Psi|^4 + \lambda_1|\Psi|^2 q^2 + \lambda_2|\Psi|^2 q^4 \\ &+ \gamma_1^* \eta_1 q^2 |\Psi|^2 + \gamma_2(\eta_1^2 + \eta_2^2)|\Psi|^2 + \gamma_3^* \eta_1^2 q^2 |\Psi|^2. \end{aligned} \quad (7)$$

В потенциале  $\Phi$  (7) мы учли в дополнение к [24] также слагаемое  $\gamma_3^* \eta_1^2 q^2 |\Psi|^2$ .

### 3. Жидкокристаллические фазы модели

Система уравнений состояний модели термодинамического потенциала (7) имеет вид

$$\begin{aligned} \frac{\partial \Phi}{\partial \eta_1} &= 2a_1\eta_1 + 3b_1(\eta_1^2 - \eta_2^2) + 4a_2(\eta_1^2 + \eta_2^2)\eta_1 \\ &+ \gamma_1^*|\Psi|^2 q^2 + \gamma_2|\Psi|^2 \eta_1 + \gamma_3^*|\Psi|^2 \eta_1^2 = 0, \\ \frac{\partial \Phi}{\partial \eta_2} &= 2\eta_2[a_1 - 3b_1\eta_1 + 2a_2(\eta_1^2 + \eta_2^2) + \gamma_2|\Psi|^2] = 0, \\ \frac{\partial \Phi}{\partial |\Psi|} &= 2|\Psi|[\alpha_1 + 2\alpha_2|\Psi|^2 - 2\lambda_2 q^4 + \gamma_2(\eta_1^2 + \eta_2^2)] = 0, \\ \frac{\partial \Phi}{\partial q} &= 2|\Psi|^2 q(\lambda_1 + 2\lambda_2 q^2 + \gamma_1^* \eta_1 + \gamma_3^* \eta_1^2) = 0 \end{aligned} \quad (8)$$

и допускает решения, отвечающие следующим фазам.

Изотропная I

$$\eta_1 = \eta_2 = 0, \quad |\Psi| = 0. \quad (9)$$

Нематические аксиальные

$$N_u^+ : \eta_1 > 0, \quad \eta_2 = 0, \quad (\eta_2 = \pm\sqrt{3}\eta_1, \quad \eta_1 < 0), \quad |\Psi| = 0;$$

$$N_u^- : \eta_1 < 0, \quad \eta_2 = 0, \quad (\eta_2 = \pm\sqrt{3}\eta_1, \quad \eta_1 > 0), \quad |\Psi| = 0. \quad (10)$$

Смектические аксиальные Sm A<sub>u</sub><sup>±</sup>

$$\eta_1 \neq 0, \quad \eta_2 = 0, \quad |\Psi| \neq 0, \quad q \neq 0. \quad (11)$$

Смектическая биаксиальная Sm A<sub>b</sub>

$$\begin{aligned} \eta_1 \neq 0, \quad \eta_2 \neq 0, \quad |\Psi| \neq 0, \quad q \neq 0, \\ \eta_2^2 - 3\eta_1^2 = (\gamma_1^* q^2 |\Psi|^2 + \gamma_3^* \eta_1 q^2 |\Psi|^2) / 3b_1. \end{aligned} \quad (12)$$

Как будет показано далее, в данной модели реализуется последовательность переходов  $I\text{-Sm A}_u^+ \text{-Sm A}_b \text{-N}_u^+$ . В этом случае поведение биаксиальности в фазе  $\text{Sm A}_b$  аналогично ее поведению в фазе  $\text{N}_b$ , описанному в [9], так как биаксиальность системы определяется только ориентационным параметром порядка: биаксиальность достигает максимального значения при  $3\eta_2^2 = \eta_1^2$ , обращаясь в нуль на линиях фазовых переходов  $\text{Sm A}_u^+ \text{-Sm A}_b$ ,  $\text{Sm A}_b \text{-N}_u^+$ .

#### 4. Фазовая диаграмма

Для построения PD необходимо в пространстве варьируемых параметров модели термодинамического потенциала  $\Phi$  (7) определить области устойчивости каждой фазы (9)–(12). Глобальная минимальность модели (все фазы реализуются при конечных значениях ОР), определяемая методом, предложенным в [9], требует выполнения условий

$$a_2 > 0, \quad \alpha_2 > 0, \quad \lambda_2 > 0, \quad \gamma_2 + \gamma_3^* > -2\sqrt{a_2}\alpha_2 + \gamma_1^{*2}/4\lambda_2. \quad (13)$$

В модели  $\Phi$  (7) варьируемыми параметрами, зависящими от внешних условий и определяющими пространство полной фазовой диаграммы, являются  $a_1, \alpha_1, \lambda_1, b_1$ . Обычно экспериментально наблюдаемые фазовые диаграммы являются двумерными: давление ( $P$ ), температура ( $T$ ), концентрации ( $c$ ). Такие двумерные PD получаются из полной  $n$ -мерной (в нашем случае  $n = 4$ ) путем отображения  $R^n(a_i) \rightarrow R^2(x_1, x_2)$ , где  $x_i = T, P, c, i = 1, 2$ . Простейшим случаем отображения  $R^n \rightarrow R^2$  будет

$$\lambda_1 = \text{const}, \quad b_1 = \text{const}, \\ a_1 = a_1^0 + a_1^1 x_1 + a_1^2 x_2, \quad \alpha_1 = \alpha_1^0 + \alpha_1^1 x_1 + \alpha_1^2 x_2. \quad (14)$$

Предположение  $\lambda_1 = \text{const}$  оправдано тем обстоятельством, что на эксперименте толщина  $d$  слоя слабо зависит от внешних условий (в нашей модели за счет взаимодействия с ориентационным ОР (15); предположение  $b_1 = \text{const}$  (в дальнейшем для определенности  $b_1 < 0$ ) — тем, что при  $b_1 < 0$  и  $b_1 > 0$  топологические особенности PD в  $R^2(a_1, \alpha_1)$  сохраняются заменой  $\eta_1 \rightarrow -\eta_1$ . В этом случае находим из системы уравнений состояния

$$q^2 = -(\lambda_1 + \gamma_1\eta_1^* + \gamma_3^*\eta_1^2)/4\lambda_2 \quad (15)$$

и, подставив в (7), получаем

$$F(\eta_1, \eta_2; |\Psi|) = a_1(\eta_1^2 + \eta_2^2) + b_1(\eta_1^3 - 3\eta_1\eta_2^2) + a_2(\eta_1^2 + \eta_2^2)^2 \\ + \alpha_1|\Psi|^2 + \alpha_2|\Psi|^4 + \gamma_1\eta_1|\Psi|^2 + \gamma_2(\eta_1^2 + \eta_2^2)|\Psi|^2 + \gamma_3\eta_1^2|\Psi|^2, \quad (16)$$

где

$$\alpha_1 = \alpha_1^* - \lambda_1^2/4\lambda_2, \quad \gamma_1 = -\lambda_1\gamma_1^*/4\lambda_2, \\ \gamma_3 = -\lambda_1\gamma_3^*/2\lambda_2 - \gamma_1^2/4\lambda_2.$$

Исследование модели „эффективного“ термодинамического потенциала  $F(\eta_1, \eta_2; |\Psi|)$  (16) для фаз  $\text{Sm A}_u$  и  $\text{Sm A}_b$  необходимо проводить при дополнительном условии, вытекающем из условия действительности  $q^2 > 0$  (15)

$$\lambda_1 + \gamma_1^*\eta_1 + \gamma_3^*\eta_1^2 < 0. \quad (17)$$

Построение PD при различных значениях модальных параметров  $\gamma_1, \gamma_2, \gamma_3$  начнем с нахождения полного бифуркационного набора параметров  $a_1^b, \alpha_1^b$  в  $R^2(a_1, \alpha_1)$ , определяемого условиями вырождения матрицы вторых производных потенциала  $F(\eta_1, \eta_2; |\Psi|)$  по параметрам порядка (гессиян  $H_{ik}$ ).

Бифуркационный набор  $B^B(a_1^b, \alpha_1^b) \in R^2(a_1, \alpha_1)$  определяется из условия  $\det \|H_{ik}\| = 0$  для значений ОР в каждой фазе, получаемых из системы уравнений состояния (8)–(12). Задача построения фазовой диаграммы PD сводится к определению подмножества значений  $a_1^{\text{PD}}, \alpha_1^{\text{PD}} \in B^{\text{PD}}$ , которые приводят к вырождению решений системы уравнений состояний, отвечающих минимумам потенциала  $F(\eta_1, \eta_2; |\Psi|)$  (16).

Значения  $a_1^{\text{PD}}, \alpha_1^{\text{PD}} \in B^{\text{PD}}$  определяют условия потери устойчивости равновесного (абсолютный минимум) или метастабильного (локальный минимум) состояния системы.

а) Изотропная фаза I.

$$\eta_1 = 0, \quad \eta_2 = 0, \quad \Psi = 0, \quad a_1 \geq 0, \quad \alpha_1 \geq 0. \quad (18)$$

Уравнения (18) определяют линии OE и MD соответственно (рис. 1).

б) Нематическая фаза  $\text{N}_u$ .

$$\eta_1 \neq 0, \quad \eta_2 = 0, \quad \Psi = 0.$$

Условия вырождения решений уравнения состояния имеют вид

$$\text{Det } \|H_{ik}\| = (-18b_1\eta_1)\eta_1(3b_1 + 8a_2\eta_1) \\ \times \eta_1^2[\alpha_1 + \gamma_1\eta_1 + (\gamma_2 + \gamma_3)\eta_1^2] = 0. \quad (19)$$

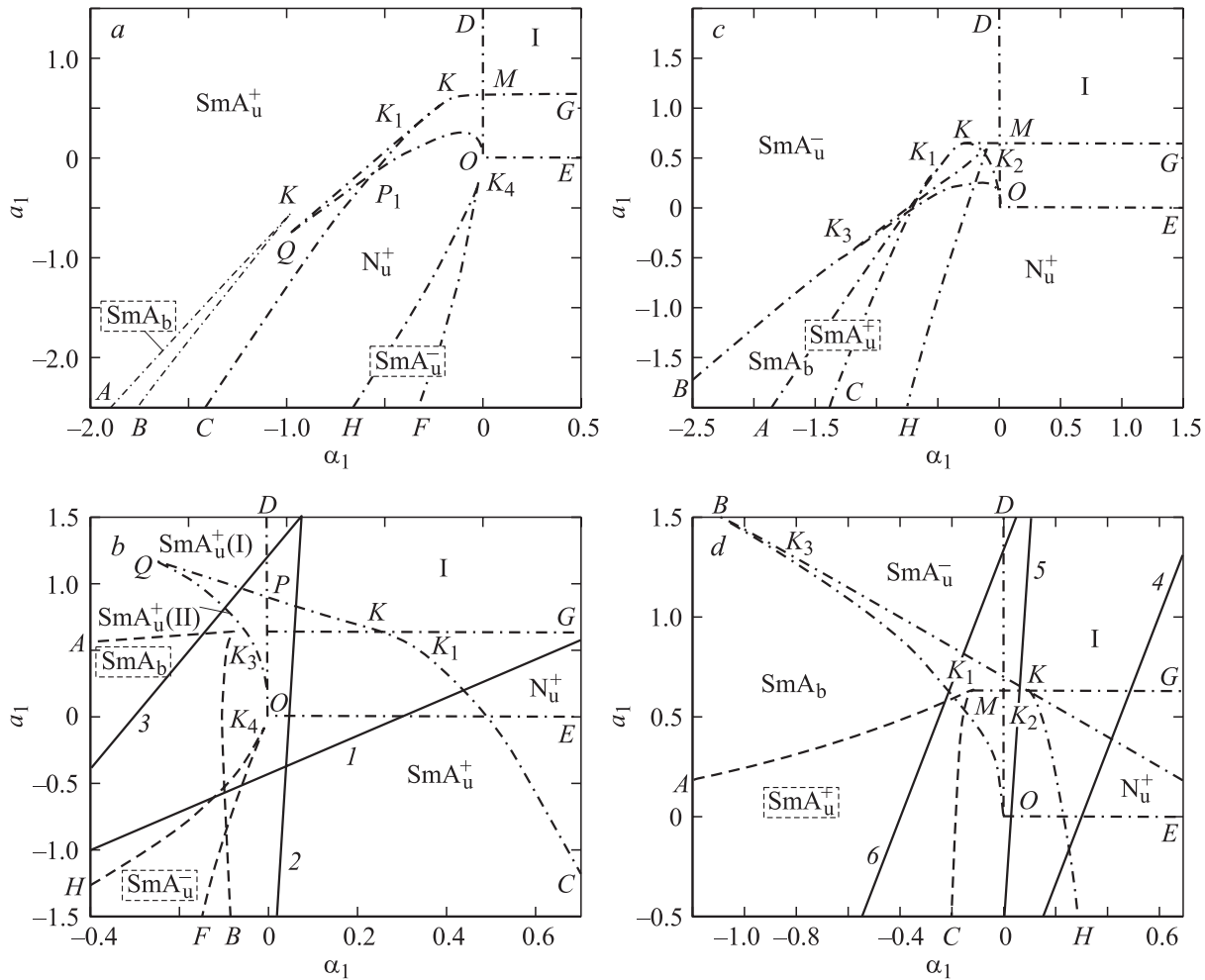
Уравнение дискриминанты (линия  $KG$  на рис. 1), определяемое условием  $3b_1 + 8a_2\eta_1 = 0$ , имеет вид

$$a_1(\text{N}_u) = 9b_1^2/32a_2. \quad (20)$$

Оно в  $R^2(a_1, \alpha_1)$  определяет область вещественности решений уравнения состояния фазы  $\text{N}_u$ ,

$$2a_1 + 3b_1\eta_1 + 4a_2\eta_1^2 = 0. \quad (21)$$

В  $R^2(a_1, \alpha_1)$  между линиями (18), (21) для данного  $a_1$  существует два решения уравнения (21) — один максимум и один минимум ( $\eta_{1\text{min}} > \eta_{1\text{max}}$ ) при  $a_1 < 0$  — один минимум. Условие из (18),  $-18b_1\eta_1 \geq 0$  в данной модели определяет  $\eta_1 > 0$  при  $b_1 < 0$ . Аналогичное условие для доменов  $\eta_2 = \pm\sqrt{3}\eta_1$  дает  $\eta_1 < 0$ . Условие



**Рис. 1.** Фазовые диаграммы модели термодинамического потенциала  $F(\eta_1, \eta_2; |\Psi|)$  (16) при различных значениях параметров  $\gamma_1, \gamma_2$ . *a* —  $\gamma_1 = -0.25, \gamma_2 = 2$ ; *b* —  $\gamma_1 = -0.7, \gamma_2 = -0.3$ ; *c* —  $\gamma_1 = 0.5, \gamma_2 = 1.3$ ; *d* —  $\gamma_1 = 0.5, \gamma_2 = -0.3$ ; штрихпунктиры — линии потери устойчивости фаз, сплошные прямые — термодинамические пути при различных значениях  $k, \alpha_0$  (41): *1* —  $TP_1$  ( $k = 0.8, \alpha_0 = 0.3$ ); *2* —  $TP_2$  ( $k = 0.02, \alpha_0 = 0.05$ ); *3* —  $TP_3$  ( $k = 0.25, \alpha_0 = -2.5$ ); *4* —  $TP_4$  ( $k = 0.2, \alpha_0 = 0.3$ ); *5* —  $TP_5$  ( $k = 0.1, \alpha_0 = 0.05$ ); *6* —  $TP_6$  ( $k = 0.3, \alpha_0 = -0.4$ ).

устойчивости относительно флуктуаций  $\Psi$  (равенство нулю квадратной скобки в (19)) дает линию  $KC$  (рис. 1)

$$a_1 = -\frac{3}{2}b_1\eta_1 - 2a_2\eta_1^2, \quad \alpha_1 = -\gamma_1\eta_1 - (\gamma_2 + \gamma_3)\eta_1^2. \quad (22)$$

В точке  $K$  линии  $GK$  и  $KC$  сшиваются, образуя гладкую кривую  $GKC$ ,

$$\alpha_1(K) = [\gamma_1 + (\gamma_2 + \gamma_3)3b_1/8a_2]/3b_1/8a_2, \quad a_1(K) = 9b_1^2/32a_2. \quad (23)$$

Область устойчивости  $N_u^+$  фазы ограничена линией  $GKC$  (рис. 1). В областях  $GMOE$  (рис. 1, *a, b, d*) и  $GKC$  (рис. 1, *b*) сосуществуют фазы  $I$  и  $N_u^+$ , между которыми происходит переход первого рода по линии

$$a_1(I - N) = b_1^2/4a_2. \quad (24)$$

с) Смектическая фаза  $Sm A_u$ .

Условие  $\det ||H_{ik}|| = 0$  для фазы  $Sm A_u$  имеет вид

$$\begin{aligned} |H_{ik}| &= \frac{\partial^2 F}{\partial \eta_2^2} \left[ \frac{\partial^2 F}{\partial \eta_1^2} \frac{\partial^2 F}{\partial \Psi^2} - \left( \frac{\partial^2 F}{\partial \eta_1 \partial \Psi} \right)^2 \right] \\ &= 4 \left( -9b_1\eta_1 - \frac{(\gamma_1 + 2\gamma_3\eta_1)\Psi^2}{\eta_1} \right) \\ &\quad \times \left\{ 4\eta_1^2\Delta_1 + 2\eta_1 [3b_1\alpha_2 - 2(\gamma_2 + \gamma_3)\gamma_1] \right. \\ &\quad \left. + \gamma_1^2 + \frac{2\alpha_2\gamma_1\Psi^2}{\eta_1} \right\} \Psi^2 = 0, \end{aligned} \quad (25)$$

где  $\Delta_1 = 4a_2\alpha_2 - (\gamma_2 + \gamma_3)^2$ , и определяет совместно с (26) полный бифуркационный набор параметров  $a_1^B, \alpha_1^B$ . Из (25) следует, что при  $|\Psi| = 0, \eta_1 = 0$  условие вырождения имеет вид  $\alpha_1 = 0$ . Равенство нулю выраже-

ния в фигурных скобках (25) определяет дискриминанту в  $R^2(a_1, \alpha_1)$ , которая в параметрическом виде выражается уравнениями

$$\alpha_1 = \frac{-\eta_1^2}{\gamma_1} \{4\Delta_1\eta_1 - 3[\gamma_1(\gamma_2 + \gamma_3) - 2a_2b_1]\},$$

$$a_1 = \frac{1}{4\alpha_2\eta_1} \left\{ \alpha_1\gamma_1 + [2(\gamma_2 + \gamma_3)\alpha_1 + \gamma_1^2]\eta_1 + 3[\gamma_1(\gamma_2 + \gamma_3) - 2\alpha_2b_1]\eta_1^2 - 2\Delta_1\eta_1^3 \right\}. \quad (26)$$

На линии  $K_1QO$  (26) существует точка возврата  $Q$  (рис. 1, *a, b*) при

$$\eta_1(Q) = \frac{\gamma_1(\gamma_2 + \gamma_3) - 2\alpha_2b_1}{2\Delta_1}. \quad (27)$$

Линия, определяющая условие потери устойчивости фазы  $Sm A_u$  относительно флуктуации по  $\eta_2$  ( $\partial^2 F / \partial^2 \eta_2 \geq 0$ ), имеет вид (совместно с эффективным уравнением состояния (26))

$$\alpha_1 = -\gamma_1\eta_1 - (\gamma_2 + \gamma_3)\eta_1^2 + \frac{18b_1\alpha_2\eta_1^2}{\gamma_1 + 2\gamma_2\eta_1}. \quad (28)$$

Линия, определяющая условие  $|\Psi|^2 \geq 0$  (при  $\eta_1 \neq 0$ ), совпадает с (23) и касается дискриминанты в точке  $K_1$ , сливаясь с ней далее. При  $\gamma_1 < 0$  существует область параметров  $a_1, \alpha_1$ , при которых сосуществуют два устойчивых решения в фазе  $Sm A_u^+$  ( $P_1QK_1, \gamma_2 > 0$ , рис. 1, *a, OPQ, \gamma\_2 > 0*, рис. 1, *b*). В этих областях возможен изоструктурный РТ первого рода между двумя смектическими фазами  $Sm A_u^+$  (I) и  $Sm A_u^+$  (II) ( $\eta_1(AI) < \eta_1(AII)$ ), оканчивающийся в критической точке типа жидкость-пар. Фазы  $Sm A_u^+$  (I) и  $Sm A_u^+$  (II) различаются как по величине ориентационного порядка, так и по толщине слоев и  $|\Psi|$  (рис. 2). Точка  $K_1$  является трикритической точкой перехода  $Sm A_u^+ - I$ , в которой переход второго рода (линия  $CK_1$  на рис. 1, *a, b*) становится переходом первого рода. При  $\gamma_1 > 0$  фаза  $Sm A_u^-$  может граничить с биаксиальной смектической фазой  $Sm A_b$ .

д) Смектическая биаксиальная фаза  $Sm A_b$ .

Эффективное уравнение состояния для  $\eta_1$  фазы  $Sm A_b$  (при  $\gamma_3 = 0$ ) имеет вид

$$12\Delta_2b_1\eta_1^2 - 2(9\alpha_2b_1^2 + 3b_1\gamma_1\gamma_2 + a_2\gamma)\eta_1 + a_1(6\alpha_2b_1 + \gamma_1\gamma_2) - \alpha_1(3b_1\gamma_2 + 2a_2\gamma_1) = 0. \quad (29)$$

Для фазы  $Sm A_b$

$$\det \|H_{ik}\| = 32\eta_2^2\Psi^2\eta_1b_1 \times [12b_1\Delta_2\eta_1 - (9\alpha_2b_1^2 + 3b_1\gamma_1\gamma_2 + a_2\gamma_1^2)], \quad (30)$$

где  $\Delta_2 = 4a_2\alpha_2 - \gamma_2^2$ .

Из (30) следуют следующие условия потери устойчивости.  $A_{SmAb}$ , дискриминантная линия

$$\eta_1 = \frac{9\alpha_2b_1^2 + 3b_1\gamma_1\gamma_2 + a_2\gamma_1^2}{12b_1\Delta_2} \quad (31)$$

совместно с эффективным уравнением состояния (29) задает прямую линию.

Линия  $B_{SmAb}$ :  $|\Psi| = 0$ . При  $\eta_2 = 0$  условие потери устойчивости фазы  $Sm A_b$  совпадает с условием (22) для фазы  $N_u$ . При  $\eta_2 \neq 0$  появляется дополнительное условие

$$a_1 = 3b_1\eta_1 - 8a_2\eta_1^2, \\ \alpha_1 = -\gamma_1\eta_1 - 4\gamma_2\eta_1^2. \quad (32)$$

Линия  $C_{SmAb}$ :  $\eta_2 = 0, |\Psi| \neq 0$  совпадает с линией потери устойчивости фазы  $Sm A_u$  (28). В зависимости от знаков и соотношений неварьируемых параметров  $b_1, \gamma_1, \gamma_2, \gamma_3$  возможны четыре топологически различных типа фазовых диаграмм (рис. 1) ( $a_2 = 4, \alpha_2 = 0.5, b_1 = -0.2, \gamma_3 = 0$ ).

а) При  $\gamma_1 < 0$  (рис. 1, *a, b*) на PD в  $R^2 = (a_1, \alpha_1)$  существуют области устойчивости фаз I,  $N_u^+$ ,  $Sm A_u^+$  и области метастабильных  $Sm A_u^-$  и  $Sm A_b$ , отмеченных пунктирными рамками. Как следует из (29), в фазе  $Sm A_u^+$  возможен изоструктурный РТ между двумя изоморфными фазами  $Sm A_u^+$  (I) и  $Sm A_u^+$  (II) при  $b_1 < \gamma_1(\gamma_2 + \gamma_3)/2a_2$  ( $\eta_1 > 0$ ). Прямой переход первого рода в фазу  $Sm A_u^+$  реализуется при  $\gamma_2 < 0$  (рис. 1, *b*). РТ первого рода между фазами  $N_u^+Sm A_u^+$  в трикритической точке  $J_1$  переходит РТ второго рода.

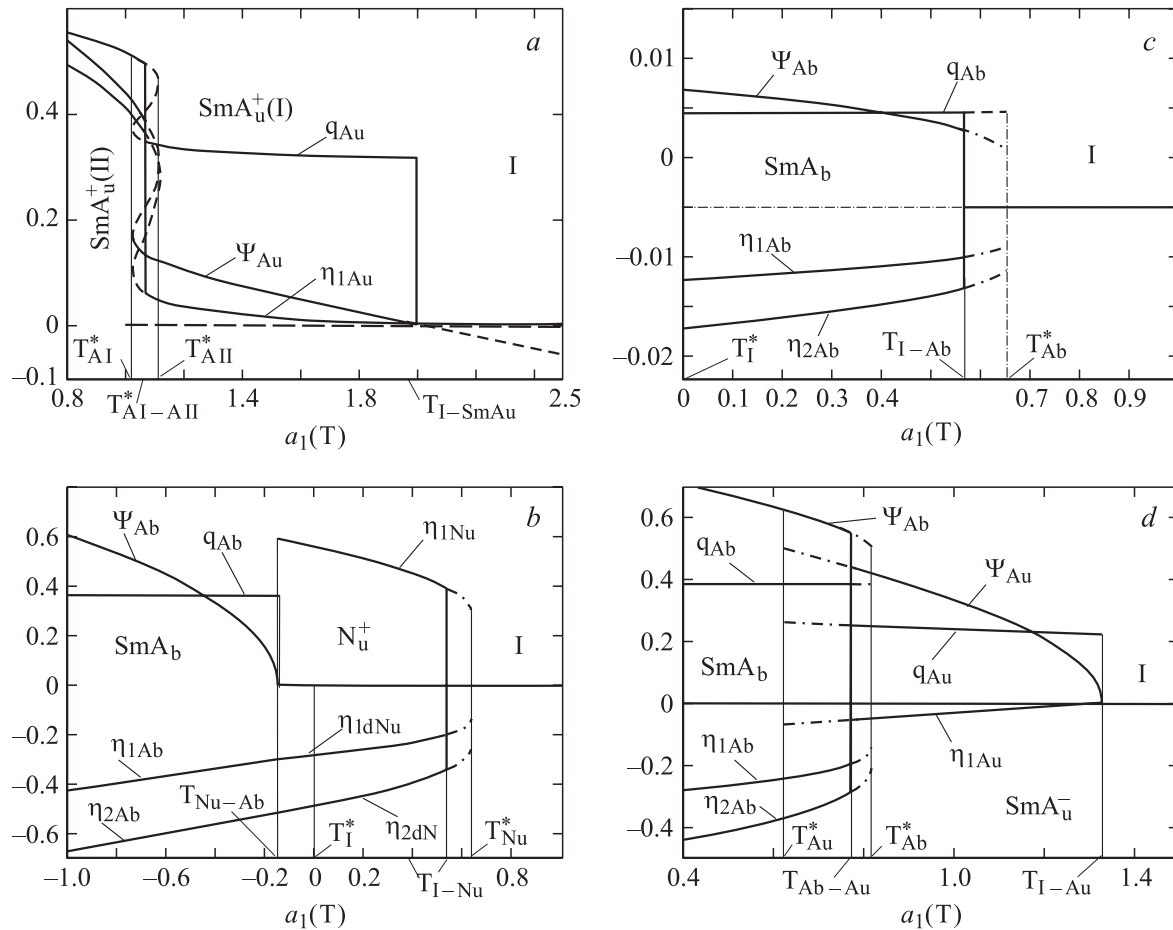
б) Принципиально отличная от результатов работ [21,22,24] ситуация реализуется на PD в  $R^2 = (a_1, \alpha_1)$  при  $\gamma_1 > 0$  (рис. 1, *c, d*). В этом случае существуют области устойчивости фаз I,  $N_u^+$ ,  $Sm A_u^-$ ,  $Sm A_b$ , а фаза  $Sm A_u^+$  — метастабильна. РТ в биаксиальную фазу  $Sm A_b$  возможен как первого, так и второго рода из фаз  $N_u^+$  и  $Sm A_u^-$  ( $K_2, K_3$  — трикритические точки РТ соответственно) и как прямой переход первого рода I —  $Sm A_b$ . При  $\gamma_2 > 0$  (рис. 1, *c*) существует РТ первого рода между фазами  $N_u^+$  и  $Sm A_u$ .

## 5. Поведение параметров порядка вдоль термодинамических путей

Проведенный анализ PD (рис. 1) позволяет исследовать поведение физических величин и ОР вдоль различных термодинамических путей TP (Thermodynamic Path). TP на PD  $(a_1, \alpha_1)$  — это прямая, определяемая зависимостью варьируемых параметров  $a_1, \alpha_1$  от одной внешней переменной (например, в (14)  $x_2, x_1 = T$ ). В этом случае зависимости  $a_1 = a_1(T), \alpha_1 = \alpha_1(T)$  можно представить в виде [24]

$$a_1(T) = a_N(T - T_N^*), \quad \alpha_1(T) = \alpha_A(T - T_A^*), \quad (33)$$

где  $a_N, \alpha_A$  — постоянные;  $T_N^*, T_A^*$  — температуры потери устойчивости фазы I при переходе в фазы  $N_u$  и  $Sm A_u$  соответственно.



**Рис. 2.** Зависимости параметров порядка  $\eta_1, \eta_2, |\Psi|, q$  (ось ординат) от  $a_1$  в различных фазах вдоль термодинамических путей. *a* — вдоль TP3; *b* — TP4; *c* — TP5; *d* — вдоль TP6.

Зависимость (40) можно записать как

$$a_1 = \alpha_0 + k a_1, \quad (34)$$

где  $\alpha_0 = \alpha_A(T_N^* - T_A^*)$ ,  $k = a_N/\alpha_A$ .

На рис. 2 приведены зависимости ориентационного  $\eta = (\eta_1, \eta_2)$ , смектического  $|\Psi|$  и  $q = 2\pi d^{-1}$  в различных фазах вдоль TP при различных значениях  $\alpha_0, k$

$$TP_1: \quad I - N_u^+ - SmA_u^+; \quad TP_2: \quad -I - SmA_u^+;$$

$$TP_3: \quad -I - SmA_u^+(I) - SmA_u^+(II);$$

$$TP_4: \quad I - N_u^+ - SmA_b; \quad TP_5: \quad I - SmA_b;$$

$$TP_6: \quad I - SmA_u^- - SmA_b. \quad (35)$$

Отметим, что исследование поведения ОП вдоль TP3–6 ранее не проводилось.

1) Вдоль TP3 (рис. 2, *a*) при  $T_{I-SmA_u^+}$  происходит прямой переход первого рода из фазы I в фазу  $SmA_u^+$  (нематический и смектический ОП в данной модели растут с понижением температуры из нуля, а толщина слоя  $d$  ( $q_{Au}$ ) — скачком), при  $T_{AI-AII}$  (рис. 2, *a*) — изоморфный переход, сопровождаемый скачкообразным изменением  $\eta_{1Au}$ ,  $|\Psi|_{Au}$  и  $q_{Au}$ .

2) Вдоль TP4 при  $T_{I-N_u^+}$  происходит РТ первого рода I —  $N_u^+$ . В фазе  $N_u^+$  возникают три возможности ориентации директора в выбранной лабораторной системе координат (домены)

- I:  $\eta_{1Nu} > 0, \quad \eta_{2Nu} = 0$  ( $Q_{zz}, Q_{xx} = Q_{yy}$ );
- II:  $\eta_{2Nu} = \sqrt{3}\eta_{1Nu}$  ( $Q_{yy}, Q_{xx} = Q_{zz}$ );
- III:  $\eta_{2Nu} = -\sqrt{3}\eta_{1Nu}$  ( $Q_{xx}, Q_{yy} = Q_{zz}$ ).

Отметим, что ось  $z$  задает ориентацию смектических слоев  $\mathbf{p} = (0, 0, p_z)$ , а директор  $\mathbf{n}$  в каждом домене I, II, III направлен вдоль  $z, y, x$  соответственно. При РТ (первого или второго рода,  $K$  — трикритическая точка)  $N_u-SmA_b$  ( $T = T_{Nu-SmA_b}$ ) в фазе  $SmA_b$  директор, определяемый в биаксиальной фазе собственным вектором с наибольшим собственным значением тензора [9], лежит в плоскости смектического слоя. При приближении к фазе  $SmA_u^-$  (рис. 2, *c*) биаксиальность достигает максимума, обращаясь в нуль при переходе  $SmA_b-SmA_u^-$ , а директор направлен перпендикулярно плоскости слоя. При РТ второго рода  $N_u-SmA_b$  на зависимостях  $\eta_1(a_1)$  и  $\eta_2(a_1)$  наблюдается излом.

3) Прямой переход из фазы I в биаксиальную смектическую  $\text{Sm A}_b$  происходит при  $T_1$   $\text{Sm A}_b$  вдоль  $\text{TP}_5$  как РТ первого рода (рис. 2, c).

4) РТ в биаксиальную  $\text{Sm A}_b$  фазу может происходить из I через промежуточную  $\text{Sm A}_u^-$  фазу ( $\text{TP}_6$ ). Фаза  $\text{Sm A}_u^-$  с симметрией  $D_{\infty h}^z$  (рис. 2, d) образуется в соединениях с дискообразными молекулами — директор, перпендикулярный плоскости дисков, направлен перпендикулярно слоям ( $Q_{zz} < 0$ ,  $Q_{yy} = Q_{xx}$ ). В фазе  $\text{Sm A}_b$  ( $D_{2h}$ ) в окрестности перехода (малая биаксиальность молекул) директор направлен перпендикулярно слоям, а вектор биаксиальности  $\mathbf{m}$  лежит в плоскости слоев. На линии, определяемой условиями  $Q_{yy}$ ,  $-Q_{xx} = Q_{zz} - Q_{xx}$ , в области устойчивости фазы  $\text{Sm A}_b$  директор меняет направление на  $\pi/2$  и связан с направлением ориентации вытянутых молекул.

Приведенные результаты для  $b_1 < 0$  топологически эквивалентны для РД и в поведении ОР при  $b_1 > 0$  с заменой фаз  $N_u^+$  на  $N_u^-$  и  $\text{Sm A}_u^-$  на  $\text{Sm A}_u^+$ .

## 6. Обсуждение результатов

Проведенное исследование простой модели термодинамического потенциала (7) выявило ряд новых особенностей при РТ из изотропной фазы в нематические и смектические фазы (ср. с [18–24]).

1) Прямой РТ из фазы I в аксиальную  $\text{Sm A}_u$  фазу возможен как РТ первого рода. I —  $\text{Sm A}_u$  реализуется вдоль  $\text{TP}_2$ ,  $\text{TP}_6$  (рис. 1, c; рис. 2, a, d) при условии

$$\alpha_1(I - \text{Sm A}_u) = 0, \quad a_1(I - \text{Sm A}_u) > a_1(I - N_u);$$

$$T_A^* > T_N^* + aNb_1^2/4a_2a_A\alpha_A \quad (36)$$

и происходит при  $T = T_A^*$ . При  $\alpha_1 = 0$ ,  $a_1 > a_1(I - N_u)$  происходит РТ первого рода, при котором ведущим ОР является смектический  $\Psi$ , а нематический  $\eta = (\eta_1, 0)$  возникает как несобственный за счет взаимодействия  $\gamma_1\eta_1|\Psi|^2$  ( $\eta_1 \approx |\Psi|^2$  в окрестности РТ). При этом толщина смектического слоя  $d$  в точке перехода скачком принимает конечное значение. Наблюдаемый в экспериментах прямой переход I– $\text{Sm A}_u^+$ , как переход первого рода [26–32], при котором скачком возникают и нематический и смектический ОР, обусловлен тем, что в этих соединениях либо выполняется условие (43), либо  $\alpha_2 < 0$ , тогда необходим учет слагаемого  $\alpha_3|\Psi|^6$ .

2) Изоморфный переход  $\text{Sm A}_u^+$  (I)– $\text{Sm A}_u^+$  (II) характеризуется скачкообразным ростом нематического и смектического порядка, приводящим к росту толщины смектического слоя. Такой переход заканчивается в критической точке  $Q$  (рис. 1, a, b) типа „жидкость–пар“.

3) В последние годы интенсивно исследуются LC с ахиральными —  $\text{BC}_a$  (Achiral) — мезогенами [13,14,26–35]. Именно в таких соединениях была обнаружена биаксиальная смектическая фаза [13,14,26–32].  $\text{BC}_a$  — молекула (мезоген), имеющая биаксиальную симметрию  $C_{2v}$ , состоит из двух сфероцилиндров,

ориентированных вдоль единичных векторов  $\mathbf{e}_1$  и  $\mathbf{e}_2$  ( $\mathbf{e}_1\mathbf{e}_2 = \cos(180^\circ - \gamma) = -\cos\gamma$ ). При  $\gamma = 0$  димер является аксиальной молекулой, при  $\gamma \neq 0$  молекула биаксиальна [33]. При малых  $\gamma$  молекула (стержень) ориентирована вдоль  $z$  (фаза  $N_u^+$ ), а при больших  $\gamma$  (диск) вдоль  $z$  ориентирован вектор, перпендикулярный плоскости молекулы (фаза  $N_u^-$ ). При промежуточных значениях  $\gamma$  возникает биаксиальная фаза  $N_b$ , которая в нашей модели не рассматривается. Аналогичным образом реализуются фазы  $\text{Sm A}_u^+$ ,  $\text{Sm A}_u^-$  и  $\text{Sm A}_b$ .

4) В рассмотренном нами случае ( $b_1 < 0$ ) при переходе  $N_u^+$ – $\text{Sm A}_b$  в фазе  $\text{Sm A}_b$  директор  $\mathbf{n}$   $\text{BC}_a$  молекулы лежит в плоскости смектических слоев. Именно такая ситуация была обнаружена экспериментально в работе [29]. Исследованное там соединение является первым примером однокомпонентной системы с  $\text{BC}_a$  молекулами. Наблюдаемые в нем смектические фазы (аксиальная  $\text{Sm A}_u$  и биаксиальная  $\text{Sm A}_b$ ) отличаются от соответствующих фаз, наблюдаемых в смеси стержневидных и  $\text{BC}_a$  молекул, в которых директор направлен перпендикулярно слоям [28]. Отметим, что при  $b_1 > 0$  возможен РТ из фазы  $\text{Sm A}_u^+$  в фазу  $\text{Sm A}_b$ . В этом случае директор  $\text{BC}_a$  молекул направлен перпендикулярно смектическим слоям.

В заключение отметим, что для описания биаксиальной нематической фазы  $N_b$  в потенциале Ландау необходим учет сильных нелинейных взаимодействий (слагаемые до шестой степени), а фаза  $\text{Sm A}_b$  реализуется при учете слагаемых до четвертой степени. Это обусловлено тем, что биаксиальность в фазе  $\text{Sm A}_b$  стабилизируется за счет несобственного взаимодействия двух ОР (инвариант  $\gamma_1\eta_1|\Psi|^2$ ), эффективно приводящего к учету более высоких нелинейных взаимодействий [34,35]. Учет в потенциале слагаемых до шестой степени по нематическому ОР [9] позволит описать РТ между фазами  $N_b$ ,  $\text{Sm A}_b$  и  $N_u$ , как первого, так и второго рода.

Автор благодарит проф. Х. Плейнера (H. Pleiner) и проф. Х. Такезое (H. Takezoe) за любезно предоставленные материалы по исследованию соединений с банановидными молекулами.

## Список литературы

- [1] G. Friedel. Ann. Phys. **18**, 2, 273 (1922).
- [2] П. де Жен. Физика жидких кристаллов. Мир, М. (1977).
- [3] M.J. Frieser. Phys. Rev. Lett. **24**, 19, 1041 (1970).
- [4] L.J. Yu, A. Saup. Phys. Rev. Lett. **45**, 12, 1000 (1980).
- [5] H. Finkelmann, H. Ringdorf, I.H. Wendorf. Macromol. Chem. **179**, 237 (1978).
- [6] S. Chandersicar. Mol. Cryst. Liq. Cryst. **124**, 1 (1985).
- [7] J. Malthete, L. Liehert, A.M. Levelut. Acad. Sci. (Paris) **303**, 1073 (1986).
- [8] S. Singh. Phys. Rep. **324**, 1, 107 (2001).
- [9] А.Е. Простаков, Е.С. Ларин, М.Б. Стрюков. Кристаллография **47**, 6, 1048 (2002).
- [10] H.R. Brand, H. Pleiner. J. Phys. (Paris) **41**, 553 (1991).

- [11] H. Luebe, H. Finkelmann. *Macromol. Chem.* **192**, 1317 (1991).
- [12] R. Meyer, W.L. McMillan. *Phys. Rev. A* **9**, 2, 899 (1974).
- [13] T. Niori, T. Sekino, J. Watanabe, T. Furukawa, H. Takezoe. *J. Mater. Chem.* **6**, 11, 1231 (1996).
- [14] T. Sekino, T. Niori, J. Watanabe, S.W. Choi, Y. Takanishi, H. Takezoe, M. Sone. *Jpn. J. Appl. Phys.* **36**, L1201 (1997).
- [15] H.R. Brand, H. Pleiner. *Macromolecules* **25**, 12, 7223 (1992).
- [16] W.L. McMillan. *Phys. Rev. A* **4**, 3, 1238 (1971).
- [17] H.R. Brand, H. Pleiner. *Macromol. Chem. Rap. Commun.* **12**, 539 (1991).
- [18] W.L. McMillan. *Phys. Rev. A* **6**, 3, 936 (1972).
- [19] F.T. Lee, H.T. Tan, Yu.M. Shih, C.-W. Woo. *Phys. Rev. Lett.* **31**, 18, 1117 (1973).
- [20] С.А. Пикин, В.Л. Инденбом. *УФН* **125**, 2, 251 (1978).
- [21] Е.Е. Городецкий, В.Э. Подник. *Кристаллография* **29**, 6, 1054 (1984).
- [22] J. Lelidis, G. Durand. *Phys. Rev. Lett.* **73**, 5, 672 (1994).
- [23] P.K. Mukherjee, H.R. Brand, H. Pleiner. *Eur. J. Phys. E* **4**, 3, 293 (2001).
- [24] А.Е. Простаков. *Кристаллография* **47**, 5, 922 (2002).
- [25] Л.Д. Ландау, Е.М. Лифшиц. *Статистическая физика*. Наука, М. (1978).
- [26] D.R. Link, G. Natale, R. Shao, J.E. MacLennan, N.A. Clark, E. Korbova, D.M. Walbal. *Science* **278**, 5345, 1924 (1997).
- [27] D.M. Walba, E. Korbova, R. Shao, J.E. MacLennan, D.R. Link, M.A. Glaser, N.A. Clark. *Science* **288**, 5474, 2181 (2000).
- [28] R. Pratibha, B.K. Sadashiva, N.V. Madhusudana. *Science* **288**, 5474, 2184 (2000).
- [29] B.K. Sadashiva, R.A. Reddy, R. Pratibha, N.V. Madhusudana. *Chem. Commun.* **20**, 2140 (2001).
- [30] A. Eremin, S. Diele, G. Pelzl, H. Nadasi, W. Weissflog, J. Salfetnikova, H. Kresse. *Phys. Rev. E* **64**, 051 707 (2001).
- [31] P.K. Maiti, Y. Lansac, M.A. Glaser, N.A. Clark. *Phys. Rev. Lett.* **88**, 065 504 (2002).
- [32] M.W. Schroder, S. Diele, N. Panchenko, W. Weissflog, G. Pelzl. *J. Materials Chem.* **12**, 10, 1331 (2002).
- [33] P.J. Camp, M.P. Allen, A.J. Masters. *J. Chem. Phys.* **111**, 9, 9871 (1999).
- [34] Yu.M. Gufan, O.D. Lalakulich, G.M. Vereshkov, G. Sartori. *Proc. of Int. Conf. SPT-I, Symmetry and Perturbation Theory*. World Scientific, S. (2001).
- [35] A. Sergienko, Yu.M. Gufan, S. Urazhdin. *Phys. Rev. B* **65**, 144 104 (2002).